

- len.—Acta Phys. Austr., 1979, № 20, p. 241—255.
4. Суханов В. И. и др. Запись фазовых голограмм на органическом полимерном материале с дисперсией, изменяющейся вследствие триплет сенсибилизированных процессов.—В кн.: Оптическая голография. Л.: Наука, 1979, с. 24—42.
 5. Фурухата И. Оценка и контроль оптических дефектов в НБС.—Изв. АН СССР. Сер. физ., 1977, т. 41, № 3.
 6. Дорош И. Р. Увеличение чувствительности и дифракционной эффективности голограмм в кристаллах $\text{LiNbO}_3 : \text{Fe}$ при использовании для записи и считывания различной поляризации света.—Вопросы радиоэлектроники. Сер. общетехн., 1979, вып. 3, с. 119—125.
 7. Kogelnik H. Coupled Wave Theory for Thick Hologram Gratings.—Bell Syst. Techn. J., 1969, vol. 48, N 9.
 8. Amodei J. J. Analysis of Holographic Recording in Insulators.—RCA Review, 1971, vol. 32, N 2, p. 185—198.
 9. Young L. et al. Theory of Formation of Phase Holograms in Lithium Niobate.—Appl. Phys. Lett., 1974, vol. 24, N 6.
 10. Гюнтер П., Миннерон Ф. Эффекты фотопреломления и фототоки в $\text{KNbO}_3 : \text{Fe}$.—Автометрия, 1978, № 2.
 11. Воронов В. В. и др. Photoэлектрические и фоторефрактивные свойства кристаллов ниобата бария — стронция, легированных церием.—Квант. электроника, 1979, т. 6, № 9.
 12. Staebler D. L., Amodei J. J. Coupled-Wave Analysis of Holographic Storage in LiNbO_3 .—J. Appl. Phys., 1972, vol. 43, N 3.
 13. Kräitzig E., Orlowski R. LiTaO_3 as Holographic Storage Material.—Appl. Phys., 1978, vol. 15, N 1.
 14. Moharam M. G., Young L. Reading and Optical Erasure of Holograms Stored by the Photorefractive Effect in Lithium Niobate.—Appl. Opt., 1978, vol. 17, N 9.
 15. Воронов В. В. и др. Фотоиндуцированное рассеяние света в кристаллах НБС: Се.—Квант. электроника, 1980, т. 7, № 11.

Поступила в редакцию 5 марта 1981 г.

УДК 621.375.826 : 537.226.4

П. А. АУГУСТОВ, О. П. БАЛЬВА, М. Б. КОСМЫНА,
К. К. ШВАРЦ

(Riga)

ЗАВИСИМОСТЬ ФОТОРЕФРАКЦИИ ОТ ТЕМПЕРАТУРЫ И ИНТЕНСИВНОСТИ СВЕТА В LiTaO_3

Фоторефракция (ФР) в сегнетоэлектриках является предметом многочисленных экспериментальных и теоретических исследований (см., например, [1—3]). ФР ухудшает параметры электрооптических модуляторов света, однако может быть эффективно использована для записи информации.

В настоящее время существует несколько механизмов возникновения ФР в сегнетоэлектриках. Ф. С. Чен [4] впервые на основе исследований распределения двулучепреломления в освещенной области кристаллов LiNbO_3 и LiTaO_3 предложил механизм ФР, основанный на фотопереносе заряда вдоль полярной оси кристалла что приводит к локальным электрическим полям, а в электрооптических материалах — к ФР. На сходство процессов ФР в кристаллах LiNbO_3 и LiTaO_3 указывают разные авторы [5—8]. Установлено, что в LiNbO_3 ФР коррелирует с аномальным

Таблица 1

Характеристика объектов исследования

Номер образца	Кристалл	Концентрация, вес. %	Молярное отношение	$\gamma(\lambda) = 0,5(n_e^3 r_{33} - n_o^3 r_{13}) \cdot 10^{-8} \text{ см} \cdot \text{В}^{-1}$			$I_{\max} \text{ для } \Delta n_{\text{ст}}^{-1} f(I^{-1}) \text{ по(3), Вт} \times \text{см}^{-2}$
				457,9 нм	514,5 нм	632,8 нм	
1	LiTaO ₃	—	0,953	1,3	1,22	1,18	—
2	LiTaO ₃	—	0,965*	—	—	1,10	—
3	LiTaO ₃	—	1,00	1,25	1,22	1,16	4000
4	LiTaO ₃ —Fe	0,005	0,965	1,26	1,21	1,14	500
5	LiTaO ₃ —Fe	0,06	0,965	—	1,18	1,14	200
6	LiTaO ₃ —Fe	0,17	0,965	—	—	1,14	40

* Кристалл выращен в окислительной атмосфере, все остальные — в инертной.

фотовольтаическим эффектом (АФЭ) [9, 10]. В [11, 12] рассматривался диффузионный механизм ФР, который проявляется при записи голограмм с большой пространственной частотой. В статье [13] показана также определенная роль пироэлектрического эффекта в явлениях ФР в кристаллах LiNbO₃.

Ниже приводятся результаты исследований зависимости ФР от интенсивности света и температуры в кристаллах LiTaO₃ и LiTaO₃—Fe.

1. Экспериментальная методика и результаты. Монокристаллы LiTaO₃, LiTaO₃—Fe выращивались методом Чохральского на установке «Донец-3» в инертной и окислительной атмосферах. Примесь вводилась в шихту в виде окиси железа в концентрациях 0,03; 0,3 и 0,1 вес. %. Содержание железа в выращенных кристаллах определялось методом химического анализа (табл. 1). Содержание неконтролируемых микропримесей в шихте составляло не более $5 \cdot 10^{-4}$ вес. %. Монодоменизация проводилась приложением вдоль оси X₃ постоянного электрического поля к кристаллу, нагретому до температуры, превышающей температуру Кюри на 10—20 К. Скорость охлаждения образцов составляла 50—70 К/ч.

Для исследований применялись монодоменные плоскоапараллельные пластинки кристаллов танталата лития $10 \times 10 \text{ мм}^2$ толщиной 0,20; 0,31 и 8,00 мм. Измерения фоторефракции проводились с использованием поляризационно-оптической схемы с автоматической компенсацией разности фаз между обычным и необыкновенным лучами [14]. Источником излучения служил аргоновый лазер модели 171-08 фирмы «Спектра физикс» со стабилизацией интенсивности света ($\pm 0,5\%$). Все измерения ФР осуществлялись сфокусированным пучком света диаметром 20 мкм, что обеспечило минимальное влияние поверхностных эффектов в объеме кристалла [15]. Температура определялась с точностью $\pm 0,5$ К. Колебания естественного двулучепреломления, вызванные нестабильностью поддержания температуры в терmostате, составляли не более $3 \cdot 10^{-6}$.

Для определения поглощенной световой энергии проводились измерения пропускания при выбранной длине волны и поляризации света. Спектры поглощения исследованных кристаллов измерялись на спектрофотометре «Spekord UV VIS» в неполяризованном свете в области 250—700 нм при комнатной температуре (рис. 1).

Фоторефракция оценивалась по изменению двулучепреломления $\Delta n = \Delta(n_e - n_o)$ (диапазон измерения 10^{-6} — 10^{-3}). Экспериментально измерялась временная зависимость $\Delta n = f(t)$, и для дальнейшего анализа использовалась стационарная величина ФР $\Delta n_{\text{ст}}$ [16].

Для оценки величины индуцированного в процессе ФР электрического поля измерялось изменение двойного лучепреломления кристаллов во внешнем электрическом поле, приложенном вдоль оси X₃. В таком

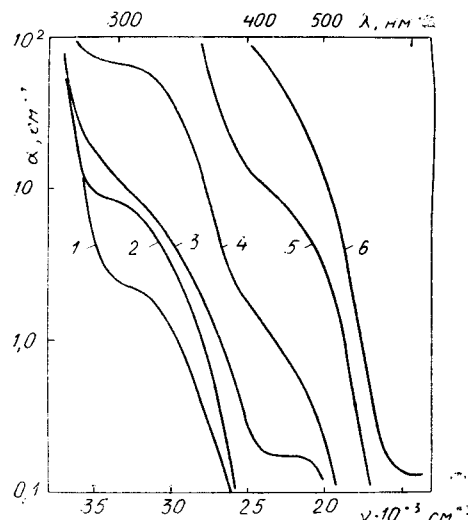


Рис. 1. Спектры поглощения кристаллов LiTaO_3 (1–3) и $\text{LiTaO}_3\text{-Fe}$ (4–6) (см. табл. 1).

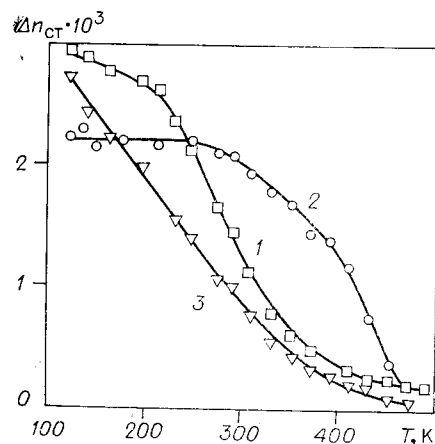


Рис. 2. Температурная зависимость Δn_{ct} для образцов № 4 — 0,03; № 5 — 0,1; № 6 — 0,03 вес. % Fe.

Интенсивность возбуждающего света при $\lambda=514,5$ нм выбрана с выполнением условия одинаковой поглощенной световой энергии и составляла для образцов № 4 — 115 (1), № 5 — 7,5 (2), № 6 — 4 $\text{Вт}\cdot\text{см}^{-2}$ (3).

случае изменение двулучепреломления Δn определяется следующим образом:

$$\Delta n = \gamma E_{\text{вн}}, \quad (1)$$

где $\gamma = 0,5 (n_e^3 r_{33} - n_0^3 r_{13}) (n_e, n_0$ — показатели преломления; r_{33}, r_{13} — электрооптические коэффициенты [17]). Для проверки возможностей компенсации Δn_{ct} внешним электрическим полем подбиралось такое значение $E_{\text{вн}}$, при котором изменение двойного лучепреломления за счет электрооптического эффекта (ЭОЭ) $\Delta n_{\text{ЭОЭ}} = \Delta n_{ct}$. Величина $\gamma(\lambda)$ использовалась для оценки индуцированных светом внутренних полей.

Результаты по температурной зависимости ФР в диапазоне 100–500 К приведены на рис. 2, а по зависимости времени релаксации ФР после прекращения светового воздействия при различных температурах — на рис. 3. Из выражения $\tau = \tau_0 \exp(-Q/kT)$ определились энергии активации (табл. 2). Зависимость Δn_{ct} от интенсивности света исследовалась на длине волны 514,5 нм в диапазоне от 0,3 до 10^5 $\text{Вт}/\text{см}^2$ (рис. 4).

Обсуждение результатов. Полученные нами экспериментальные результаты по зависимости ФР в кристаллах LiTaO_3 и $\text{LiTaO}_3\text{-Fe}$ от температуры и интенсивности света подобны результатам, полученным на LiNbO_3 [16].

Таблица 2
Энергия активации (эВ) процесса фоторефракции LiTaO_3 и $\text{LiTaO}_3\text{-Fe}$

Температурный интервал, T , К	Образец № 3	0,03 вес. % Образец № 4	0,1 вес. % Образец № 5	0,3 вес. % Образец № 6	Условия определения
160–250	—	—	—	0,12	Термическая релаксация фоторефракции после светового воздействия $\ln \tau = f(T^{-1})$
250–420	—	—	—	0,27	
370–460	1,20	1,20	1,20	—	
250–420	—	0,13	—	0,13	По зависимости $\ln(\Delta n_{ct}) = f(T^{-1})$
410–480	—	—	0,66	—	

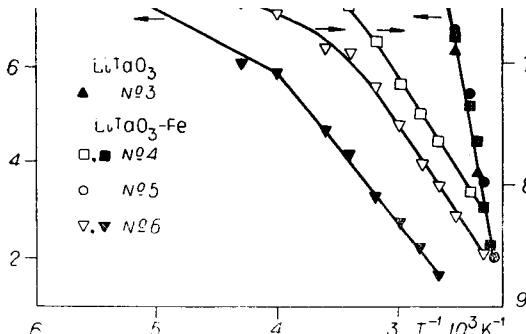


Рис. 3. Зависимости $\ln(\Delta n_{ct})$ и $\ln \tau$ от обратной температуры для LiTaO_3 и $\text{LiTaO}_3\text{-Fe}$:

Образец № 3 — неактивированный, № 4 — 0,03; № 5 — 0,1; № 6 — 0,3 вес. % Fe. Интенсивность возбуждающего света $\lambda=514,5$ нм выбрана с выполнением условия одинаковой поглощенной световой энергии.

Согласно выражению (1) определяется выражением

$$E_{ct} = k\alpha I / (\sigma_0 + \beta I), \quad (2)$$

где k — фотовольтаическая константа, α — коэффициент поглощения, σ_0 — темновая проводимость, βI — фотопроводимость.

В кристаллах LiNbO_3 и LiTaO_3 фоторефракция и фотовольтаический эффект взаимосвязаны [9, 18]. Поэтому согласно (1) $\Delta n_{ct} = \gamma E_{ct}$. Это позволяет проверить справедливость выражения (2) по экспериментальной зависимости

$$E_{ct}^{-1} = (\sigma_0/k\alpha) I^{-1} + \beta/(k\alpha). \quad (3)$$

Эксперимент показал, что $(\Delta n_{ct})^{-1}$ является линейной функцией I^{-1} при $I \leq I_{max}$, причем значение I_{max} для различных образцов колеблется от 10 до 4000 Вт · см⁻² (см. табл. 1). Электрооптическая природа ФР и существование фототока в LiTaO_3 и $\text{LiTaO}_3\text{-Fe}$ подтверждается возможностью компенсации Δn_{ct} внешним электрическим полем согласно выражениям (1) и (2).

При больших интенсивностях в кристаллах LiTaO_3 ФР стремится к насыщению ($\Delta n_{ct} \rightarrow \Delta n_{ct}^{pr}$, см. рис. 4). При этом экспериментально наблюдалась также явления, вызванные нагревом излучением. При интенсивностях $I > 10^5$ Вт · см⁻² нагрев приводит к растрескиванию кристалла в освещенной области.

В выражении (2) при больших I , когда $I \gg \sigma_0/\beta$, $E_{ct} = k\alpha/\beta$, и с учетом (1) $\Delta n_{ct} = k\alpha\gamma/\beta$. Однако из-за вызванного светом нагрева этим приближением нельзя пользоваться. Это, возможно, является одной из причин того, что в кристаллах с добавками железа при больших интенсивностях света Δn_{ct} стремится к одному и тому же значению $\Delta n_{ct}^{pr} \approx 3 \cdot 10^{-3}$ (такая же величина получена для LiNbO_3 [16]). Для выяснения причины одинакового значения Δn_{ct}^{pr} необходимы дополнительные исследования. Дальнейшего анализа требуют также большие величины $E_{ct}^{pr} \approx 240$ кВ · см⁻¹, оцененные по Δn_{ct}^{pr} с использованием выражений (2) и (1). Величина этого поля близка к величине пробойного поля. По-видимому, явления

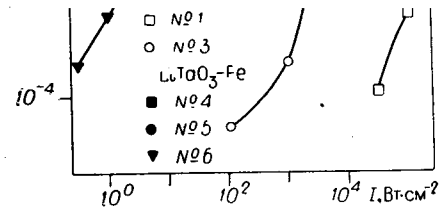


Рис. 4. Зависимость фоторефракции Δn_{ct} от интенсивности света при $\lambda=514,5$ нм) для кристаллов LiTaO_3 и $\text{LiTaO}_3\text{-Fe}$ (характеристику образцов см. в табл. 1).

Согласно работам [9, 15] зависимость электрического поля, индуцированного фотовольтаическим эффектом, от интенсивности света (I) определяется выражением

$$E_{ct} = k\alpha I / (\sigma_0 + \beta I), \quad (2)$$

где k — фотовольтаическая константа, α — коэффициент поглощения, σ_0 — темновая проводимость, βI — фотопроводимость.

В кристаллах LiNbO_3 и LiTaO_3 фоторефракция и фотовольтаический эффект взаимосвязаны [9, 18]. Поэтому согласно (1) $\Delta n_{ct} = \gamma E_{ct}$. Это позволяет проверить справедливость выражения (2) по экспериментальной зависимости

$$E_{ct}^{-1} = (\sigma_0/k\alpha) I^{-1} + \beta/(k\alpha). \quad (3)$$

Эксперимент показал, что $(\Delta n_{ct})^{-1}$ является линейной функцией I^{-1} при $I \leq I_{max}$, причем значение I_{max} для различных образцов колеблется от 10 до 4000 Вт · см⁻² (см. табл. 1). Электрооптическая природа ФР и существование фототока в LiTaO_3 и $\text{LiTaO}_3\text{-Fe}$ подтверждается возможностью компенсации Δn_{ct} внешним электрическим полем согласно выражениям (1) и (2).

При больших интенсивностях в кристаллах LiTaO_3 ФР стремится к насыщению ($\Delta n_{ct} \rightarrow \Delta n_{ct}^{pr}$, см. рис. 4). При этом экспериментально наблюдалась также явления, вызванные нагревом излучением. При интенсивностях $I > 10^5$ Вт · см⁻² нагрев приводит к растрескиванию кристалла в освещенной области.

В выражении (2) при больших I , когда $I \gg \sigma_0/\beta$, $E_{ct} = k\alpha/\beta$, и с учетом (1) $\Delta n_{ct} = k\alpha\gamma/\beta$. Однако из-за вызванного светом нагрева этим приближением нельзя пользоваться. Это, возможно, является одной из причин того, что в кристаллах с добавками железа при больших интенсивностях света Δn_{ct} стремится к одному и тому же значению $\Delta n_{ct}^{pr} \approx 3 \cdot 10^{-3}$ (такая же величина получена для LiNbO_3 [16]). Для выяснения причины одинакового значения Δn_{ct}^{pr} необходимы дополнительные исследования. Дальнейшего анализа требуют также большие величины $E_{ct}^{pr} \approx 240$ кВ · см⁻¹, оцененные по Δn_{ct}^{pr} с использованием выражений (2) и (1). Величина этого поля близка к величине пробойного поля. По-видимому, явления

внутреннего пробоя выступают в качестве принципиального ограничения для Δn_{ct}^{pr} .

Величина Δn_{ct} слабо зависит от длины волны (в диапазоне 460—515 нм) при одинаковой поглощенной энергии. При этом индуцированное светом поле, согласно (1) и табл. 1, практически остается постоянным.

В неактивированных LiTaO_3 (см. рис. 4, табл. 1) с ростом отношения $\text{Li} : \text{Ta}$ Δn_{ct} увеличивается. Исключением является образец № 2, в котором величина Δn_{ct} меньше, чем для образцов № 1 и 3 (при $I = 10^5 \text{ Вт} \cdot \text{см}^{-2}$ $\Delta n_{ct} \approx 10^{-4}$). Так как образец № 2 выращивался в окислительной атмосфере и концентрация кислородных вакансий у него меньше, чем в других кристаллах, то можно предположить, что активными центрами ФР в неактивированных кристаллах LiTaO_3 являются кислородные вакансии. Наши результаты согласуются с результатами работы [5] по LiTaO_3 и выводами работы [9] по LiNbO_3 , предполагающими кислородные вакансии в качестве активных центров ФР.

Изменение концентрации железа сильно влияет на температурную зависимость Δn_{ct} в кристаллах LiTaO_3 (см. рис. 2). Выражение (2) с учетом (1) также характеризует зависимость $\Delta n_{ct} = f(T)$. По-видимому, γ [17] и α слабо зависят от температуры, а $\Delta n_{ct} = f(T)$ в основном определяется температурными зависимостями k , σ_0 и β . В LiNbO_3 и других материалах k уменьшается, а β растет с повышением температуры [2]. Наши результаты по $\Delta n_{ct} = f(T)$ в LiTaO_3 свидетельствуют о подобных температурных зависимостях k и β .

На рис. 3 приведены результаты обработки кривых $\Delta n_{ct} = f(T)$ в координатах $\ln(\Delta n_{ct}) = f(T^{-1})$ и $\ln \tau = f(T^{-1})$. Зависимость $\ln \tau$ характеризует релаксацию ФР от температуры в процессе отжига и делокализацию объемного заряда из-за темновой проводимости. Для образцов № 3—5 при температурах $T > 370$ К энергии активации термической релаксации одинаковы и равны 1,2 эВ, что близко к результатам работы [7]. Для образца № 6 энергия активации существенно отличается и зависит от температурной области (см. табл. 2). Сильное уменьшение энергии активации при отжиге в кристалле № 6 LiTaO_3 —Fe (0,3 вес. %) указывает на существенное изменение природы центров захвата с увеличением концентрации. Аналогичное явление в LiNbO_3 —Fe (0,3 вес. %) наблюдалось в [16, 20]. В последней работе детально изучена темновая проводимость в кристаллах LiNbO_3 —Fe в зависимости от концентрации железа и обнаружено уменьшение энергии активации темновой проводимости в кристаллах с большой концентрацией примеси.

Во всех исследованных кристаллах LiTaO_3 (см. табл. 2, рис. 2 и 3) энергии активации во время воздействия света меньше, чем в процессе отжига. Физический смысл энергии активации для зависимости $\ln(\Delta n_{ct}) = f(T^{-1})$ является более неопределенным.

ВЫВОДЫ

1. В кристаллах LiTaO_3 и LiTaO_3 —Fe ФР коррелирует с фотовольтаическим эффектом.

2. Стационарное значение фоторефракции в кристаллах LiTaO_3 сильно зависит от интенсивности света и в наиболее чистых образцах не достигает насыщения Δn_{ct} даже при $I > 10^5 \text{ Вт} \cdot \text{см}^2$.

3. В кристаллах LiTaO_3 —Fe (от 0,03 до 0,3 вес. %) насыщение ФР наступает при различных интенсивностях, но достигает одной и той же предельной величины: $\Delta n_{ct}^{pr} \approx 3 \cdot 10^{-3}$.

Авторы выражают благодарность А. В. Гулбису за ценные замечания при обсуждении работы.

ЛИТЕРАТУРА

1. Гюнтер П., Мишерон Ф. Эффекты фотопреломления и фототоки в KNbO_3 —Fe.— Автометрия, 1978, № 2.
2. Фридкин В. М., Попов Б. Н. Аномальный фотовольтаический эффект в сегнетоэлектриках.— УФН, 1978, т. 126, вып. 4.
3. Шварц К. К. Фотопреломление в кристаллах LiNbO_3 и поиск новых электрооптических материалов для записи оптической информации.— В кн.: Несеребряные и необычные среды для голограммии. Л.: Наука, 1978, с. 34—50.
4. Chen F. S. Optically Induced Charge of Refractive Induces in LiNbO_3 and LiTaO_3 .— J. Appl. Phys., 1969, vol. 40, p. 3389—3396.
5. Апгерт Н. Б., Пашков В. А., Соловьева Н. М. Оптически наведенная неоднородность показателя преломления в кристаллах LiNbO_3 и LiTaO_3 .— ЖЭТФ, 1972, т. 62, вып. 5.
6. Тсуя Х. Эффект оптического искажения в кристаллах LiTaO_3 , легированных ионами переходных металлов.— Изв. АН СССР. Сер. физ., 1977, т. 41, № 4.
7. Tsua H. Optical Damage in Transition Metal Doped LiTaO_3 .— J. Appl. Phys., 1975, vol. 46, p. 4323—4333.
8. Kräitzig E., Orlowski R. LiTaO_3 as Holographic Storage Material.— Appl. Phys., 1978, vol. 15, p. 133—139.
9. Glass A. M., Von der Linde D., Negran T. J. High-Voltage Bulk Photovoltaic Effect and Photorefractive Process in LiNbO_3 .— Appl. Phys. Lett., 1974, vol. 25, p. 233—235.
10. Баркан И. Б., Пестряков Е. В., Энтин М. В. Исследование импульсной голограммической записи в монокристалле LiNbO_3 с примесью Fe.— Автометрия, 1976, № 4.
11. Amodei J. J. Electron Diffusion Effects During Holographic Recording in Insulators.— Appl. Phys. Lett., 1971, vol. 18, p. 22—24.
12. Винецкий В. Л. и др. Механизм записи голограмм в кристаллах и усиление коherentных световых пучков.— Препринт № 15. Киев: изд. ИФ АН УССР, 1976.
13. Shein L. B., Cressman P. J., Cross L. E. Pyroelectric Induced Optical Damage in LiNbO_3 .— J. Appl. Phys., 1978, vol. 49, p. 798—800.
14. Аугустов П. А., Готлиб В. И. Влияние электрооптического поля на фотопреломление в ниобате лития.— Изв. АН ЛатвССР. Сер. физ. и техн. наук, 1976, № 3.
15. Augustov P. A., Shvarts K. K. Surface Recombination and Photorefraction in LiNbO_3 —Fe Crystals.— Appl. Phys., 1979, vol. 18, p. 399—401.
16. Augustov P. A., Shvarts K. K. The Temperature and Light Intensity Dependence of Photorefraction in LiNbO_3 .— Appl. Phys., 1980, vol. 21, p. 191—194.
17. Сонин А. С., Василевская А. С. Электрические кристаллы. М.: Атомиздат, 1971.
18. Glass A. M. et al. Excited State Polarization Bulk Photovoltaic Effect and the Photorefraction Effect in Electrically Polarized Media.— J. Electr. Mater., 1975, vol. 4, p. 915—943.
19. Зейналлы А. Х., Коган Л. С., Тимофеев А. Л. Влияние состава на голограммическую запись в кристаллах ниобата лития.— ФТТ, 1979, т. 21, вып. 10.
20. Barkan I. B., Entin M. V., Marennikov S. I. Conductivity of Fe-Doped LiNbO_3 Crystals.— Phys. Stat. Sol. (a), 1977, vol. 44, p. K91—K94.

Поступила в редакцию 8 августа 1980 г.

УДК 537.311.1

О. А. ГУДАЕВ, В. А. ГУСЕВ, В. А. ДЕТИНЕНКО,
А. П. ЕЛИСЕЕВ, В. К. МАЛИНОВСКИЙ
(Новосибирск)

УРОВНИ ЭНЕРГИИ В ЗАПРЕЩЕННОЙ ЗОНЕ КРИСТАЛЛОВ $\text{Bi}_{12}\text{GeO}_{20}$, $\text{Bi}_{12}\text{SiO}_{20}$

Введение. Силлениты, в частности силлениты германия и кремния,— широко известный в настоящее время класс материалов [1]. Вопрос об энергетическом спектре уровней в кристаллах $\text{Bi}_{12}\text{GeO}_{20}$ (BGO) и $\text{Bi}_{12}\text{SiO}_{20}$ (BSO) обсуждался ранее авторами [2—4]. Работы же о природе центров в этих кристаллах и их роли в процессах переноса заряда практически отсутствуют.